

FIG. 1

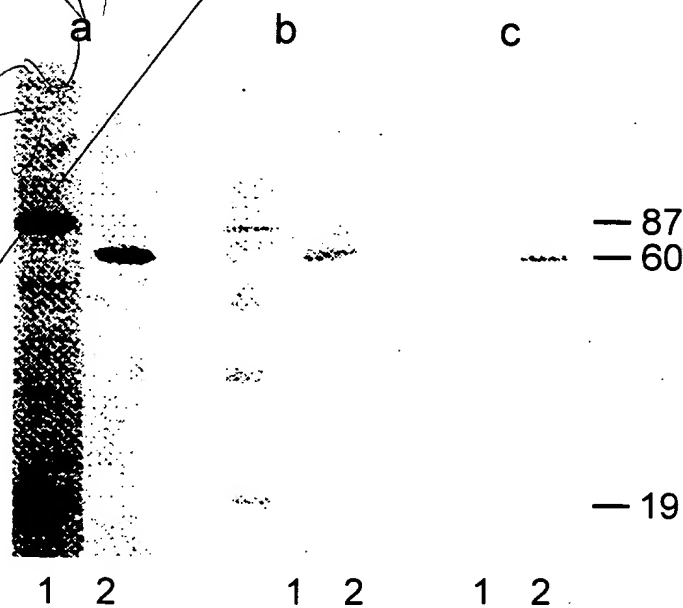


FIG. 2

09338497-082701

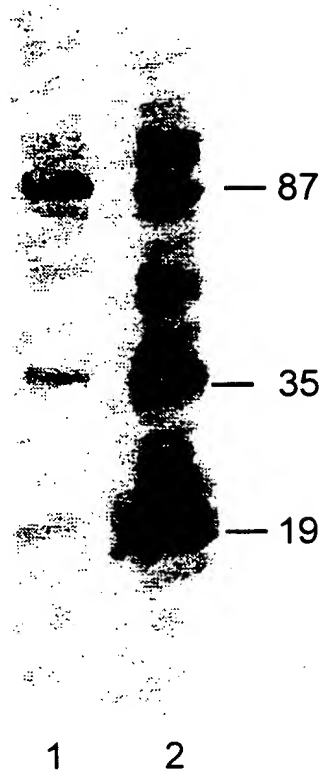


FIG. 3

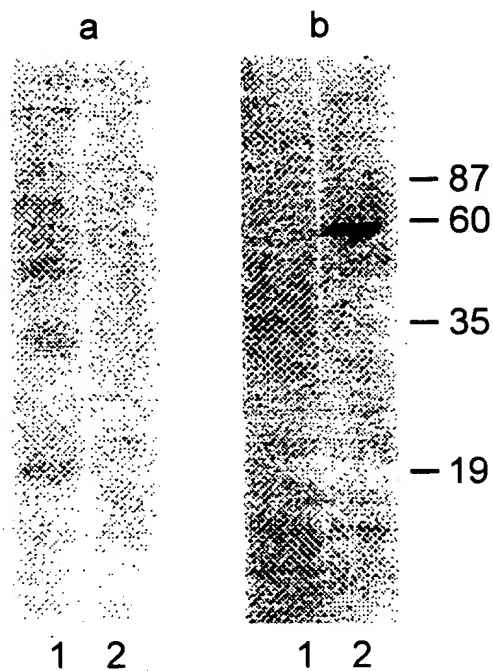


FIG. 4

0938497.082701

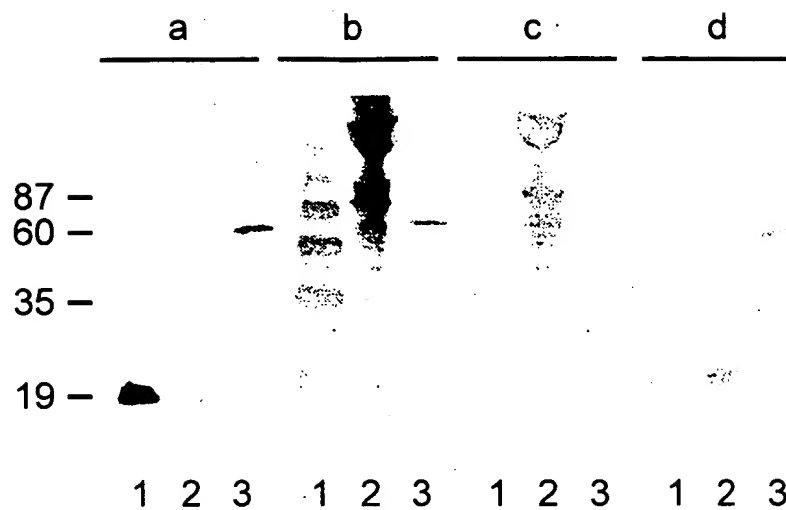


FIG. 5

0033497-003777

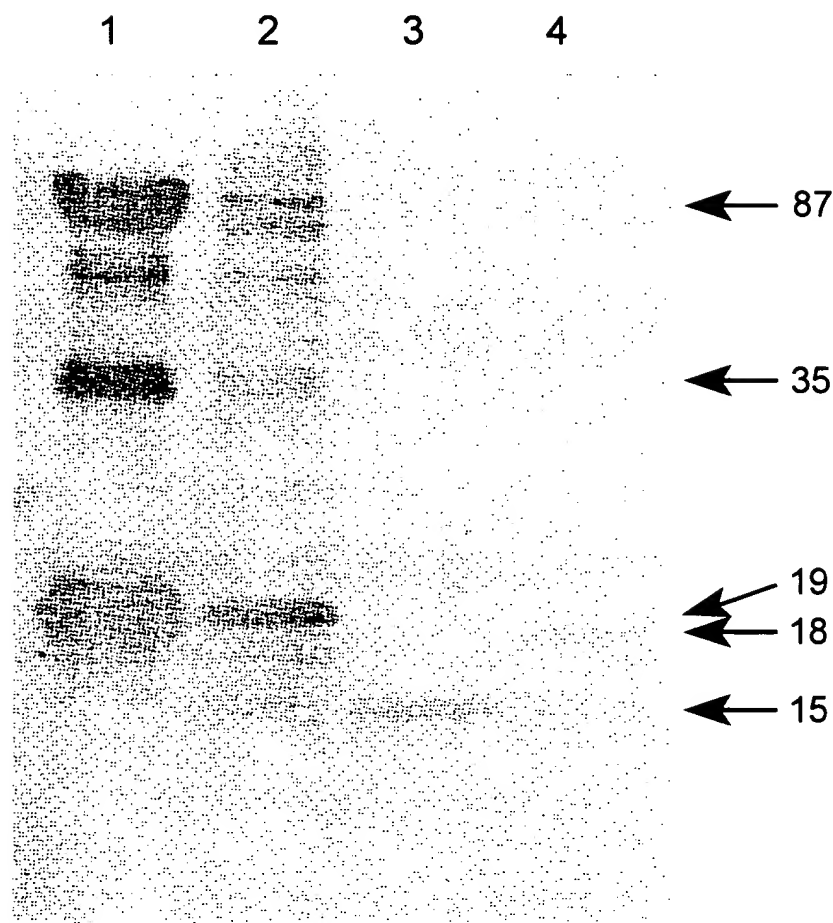


FIG. 6

05938497-082701

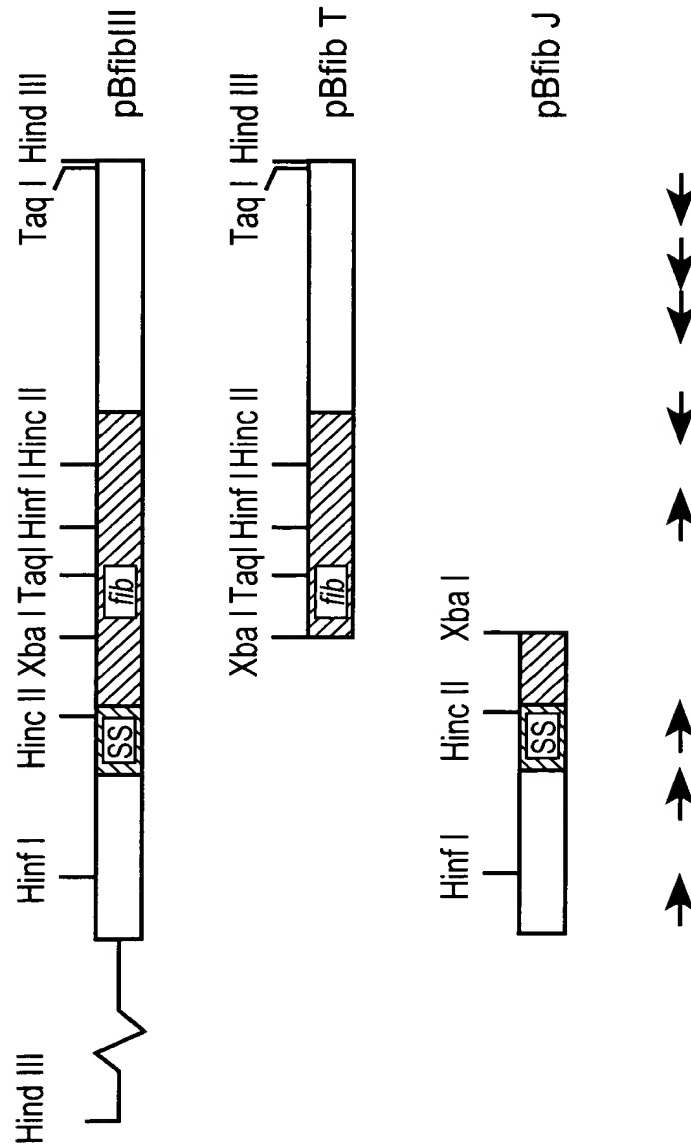


FIG. 7

1 GACTAGTGATAAGTGCTGATGAGTCACAAGATAGATAACTATATTTTGTCTATATTATA 60
 -35
 61 AAGTGTTTATAGTTAATTAATAATTAGTTAATTTCAAAAGTTGTATAAATAGGATAACTT 120
 -18 -35
 121 AATAAATGTAAGATAATAATTGGAGGATAATTAACATGAAAAATAAATTGATAGCAAAA 180
 -18 M K N K L I A K
 181 TCTTTATTAACAATAGCGGCAATTGGTATTACTACAACACTACAATTGCGTCAACAGCAGAT 240
 S L L T I A A I G I T T T I A S T A D
 241 GCGAGCGAAGGATACGGTCCAAGAGAAAAGAAACCAGTGAGTATTAATCACAATATCGTA 300
 A↑ S E G Y G P R E K K P V S I N H N I V
 301 GAGTACAATGATGGTACTTTTAAATATCAATCTAGACCAAAATTTAACTCAACACCTAAA 360
 E Y N D G T F K Y Q S R P K F N S T P K
 361 TATATTAAATTCAAACATGACTATAATATTTTAGAATTTAACGATGGTACATTGGAATAT 420
 Y I K F K H D Y N I L E F N D G T F E Y
 421 GGTGCACGTCCACAATTTAATAAACCAGCAGCGAAAACCTGATGCAACTATTAATAAAAGAA 480
 G A R P Q F N K P A A K T D A T I K K E
 481 CAAAAATTGATTCAAGCTCAAATCTTGTGAGAGAATTTGAAAAACACATACTGTCACT 540
 Q K L I Q A Q N L V R E F E K T H T V S
 541 GCACACAGAAAAGCACAAAAGGCAGTCAACTTAGTTTTGTTTGAATACAAAGTGAAGAAA 600
 A H R K A Q K A V N L V S F E Y K V K K
 601 ATGGTCTTACAAGAGCGAATTGATAATGTATTAAACAAGGATTAGTGAGATAATACTTC 660
 M V L Q E R I D N V L K Q G L V R *
 661 TGTCATTATTTTAAGTTCAAATAATTTAATATTATATTATTTTATTATAATAAACGAC 720
 721 TATGCTATTTAATGCCAGGTTAATGTAACCTTCTCTAAAATTGACTATATAATCGTTAAGT 780
 781 ATCAATTTTAAGGAGAGTTTACAATGAAATTTAAAAATATATATTAACAGGAACATTAG 840
 M K F K K Y I L T G T L A
 841 CATTACTTTTATCATCAACTGGGATAGCAACTATAGAAGGGAATAAAGCAGATGCAAGTA 900
 L L L S S T G I A T I E G N K A D A S S
 901 GTCTGGACAAATATTTAACTGAAAGTCAGTTTCATGATAAACGCATAGCAGAAGAATTAA 960
 L D K Y L T E S Q F H D K R I A E E L R
 961 GAACTTTACTTAACAAATCGAATGTATATGCATTAGCTGCAGGAAGCTT 1009
 T L L N K S N V Y A L A A G S 1

FIG. 8

1 ATAGATACTATATTTTGTCTATATTATAAAGTGTTTATAGTTAATTAATAATTAGTTAA 60
 1 G CA 60

61 TTTCAAAAGTTGTATAAATAGGATAACTTAATAAATGTAAGATAATAATTTGGAGGATAA 120
 61 120

121 TTAACATGAAAAATAAATTGATAGCAAAATCTTTATTAACAATAGCGGCAATTGGTATTA 180
 121 G GC T A 180

181 CTACAACTACAATTGCGTCAACAGCAGATGCGAGCGAAGGATACGGTCCAAGAGAAAAGA 240
 181 240

241 AACCAGTGAGTATTAATCACAATATCGTAGAGTACAATGATGGTACTTTTAAATATCAAT 300
 241 300

301 CTAGACCAAATTTAACTCAACACCTAAATATATTAAATTCAAACATGACTATAATATTT 360
 301 360

361 TAGAATTTAACGATGGTACATTGGAATATGGTGCACGTCCACAATTTAATAAACCAGCAG 420
 361 420

421 CGAAAACTGATGCAACTATTAAAAAAGAACAAAAATTGATTCAAGCTCAAATCTTGTGA 480
 421 480

481 GAGAATTTGAAAAACACATACTGTCAGTGCACACAGAAAAGCACAAAAGGCAGTCAACT 540
 481 540

541 TAGTTTCGTTTGAATACAAAGTGAAGAAAATGGTCTTACAAGAGCGAATTGATAATGTAT 600
 541 600

601 TAAACAAGGATTAGTGAGATAATACTTCTGTCATTATTTTAAGTTCAAAA...TAATT 660
 601 T A A AA C GC G T TC GG TAAT 660

661 TAATATTATATTATTTTTTTATTAATAAAACGACTATGCTATTTAATGCCAGGTTAATGTA 720
 661 A G G A G G AA G AT A 720

721 ACTTTCCTAAAATTGACTATATAATCGTTAAGTATCAATTTTAAGGAGAGTTTACAATGA 780
 721 T G G C AG C T 780

781 AATTT 785
 781 785

FIG. 9

1 MKNKLIAKSLLTIAAIGITTTTIASTADASEGYGPREKKPVSINHNIVEYNDGTFKYQSR 60
1 A L 60
61 PKFNSTPKYIKFKHDYNILEFNDGTFEYGARPQFNKPAAKTDATIKKEQKLIQAQNLVRE 120
61 120
121 FEKTHTVSAHRKAQKAVNLVSFEYKVKKMVLQERIDNVLKQGLVR 165
121 K 165

FIG. 10

099338497.082701

FO2280" 2648E660

Fbg-bp, strain Newman:

SEGYGPR

EKKPVSINH
KYIKFKHDY

NIVEYNDGSFK
NILEFNDGTFE

YQSRPKFNSTP
YGARPOFNKPA

AKTDATIKKEQKLIQAQNLVREFEKTHTVSAHRKAQKAVNLVSFEYKVKMMVLQERIDNVLKQGLVR

Coagulase, strain 8325-4:

(C-terminal fragment)

KYVKYRDAGT	ASQ	YGPRPQFNKTP
ETNAY	GIREYNDGTFG	YEARRFNKPS
ETNAY	NVTTHANGQVS	YGARPTYKKPS
KTNAY	NVTTHANGQVS	YGARPTQNKPS
KTNAY	NVTTHANGQVS	YGARQAQNKPS
KTNAY	NVTTHANGQVS	YGARPTYKKPS
KTNAY	NVTTHADGTAT	YGPRVTK

FIG. 11

102280 26483650

Adherence and Internalisation to fibroblasts by Newman and Newman AH12 (Eap::Ery^R) O.N culture

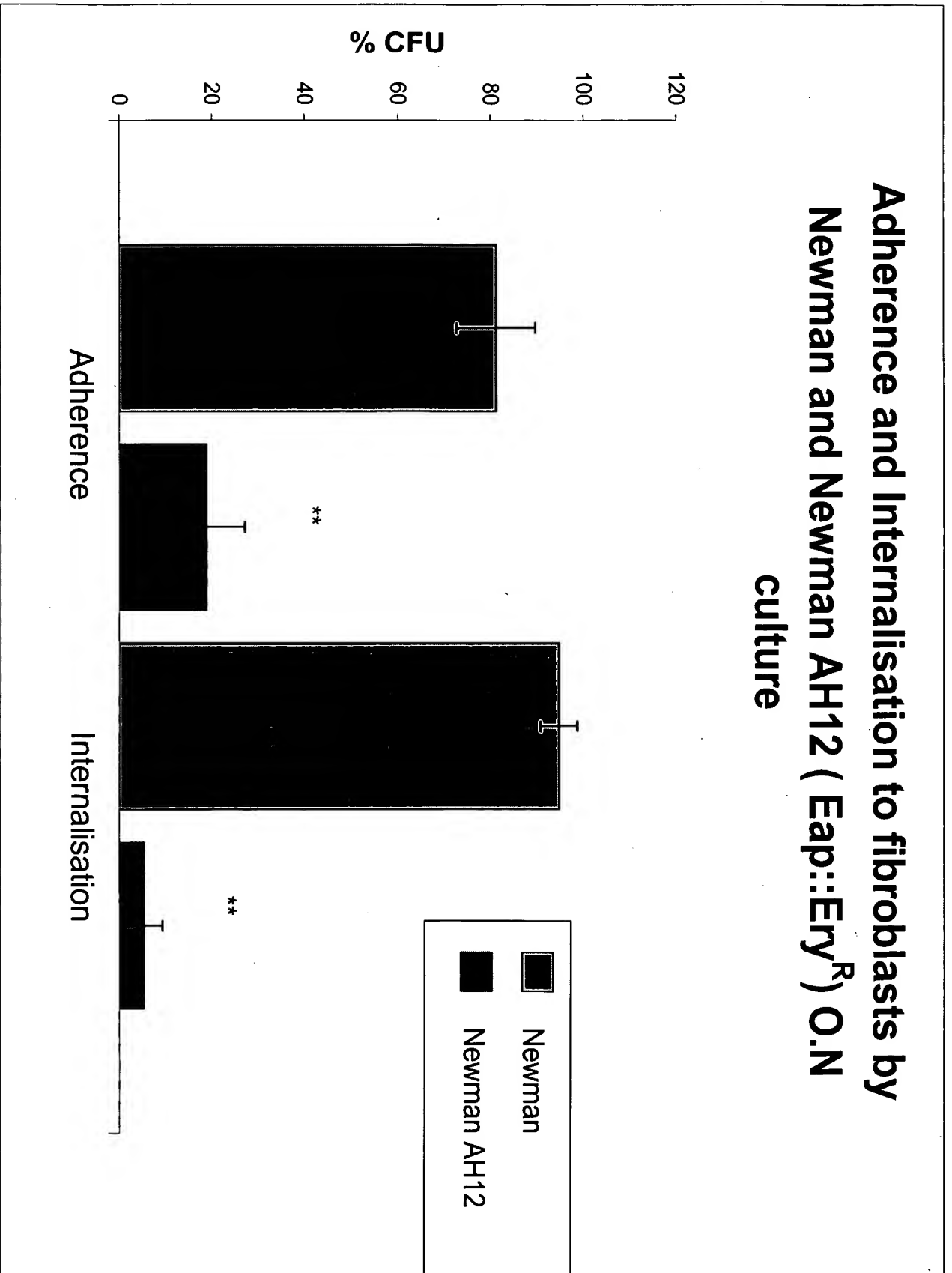


FIG. 12

102280 2548E660

Adherence and Internalization into epithelial cells of Newman and Newman AH12 (Eap::Ery^R), O.N culture

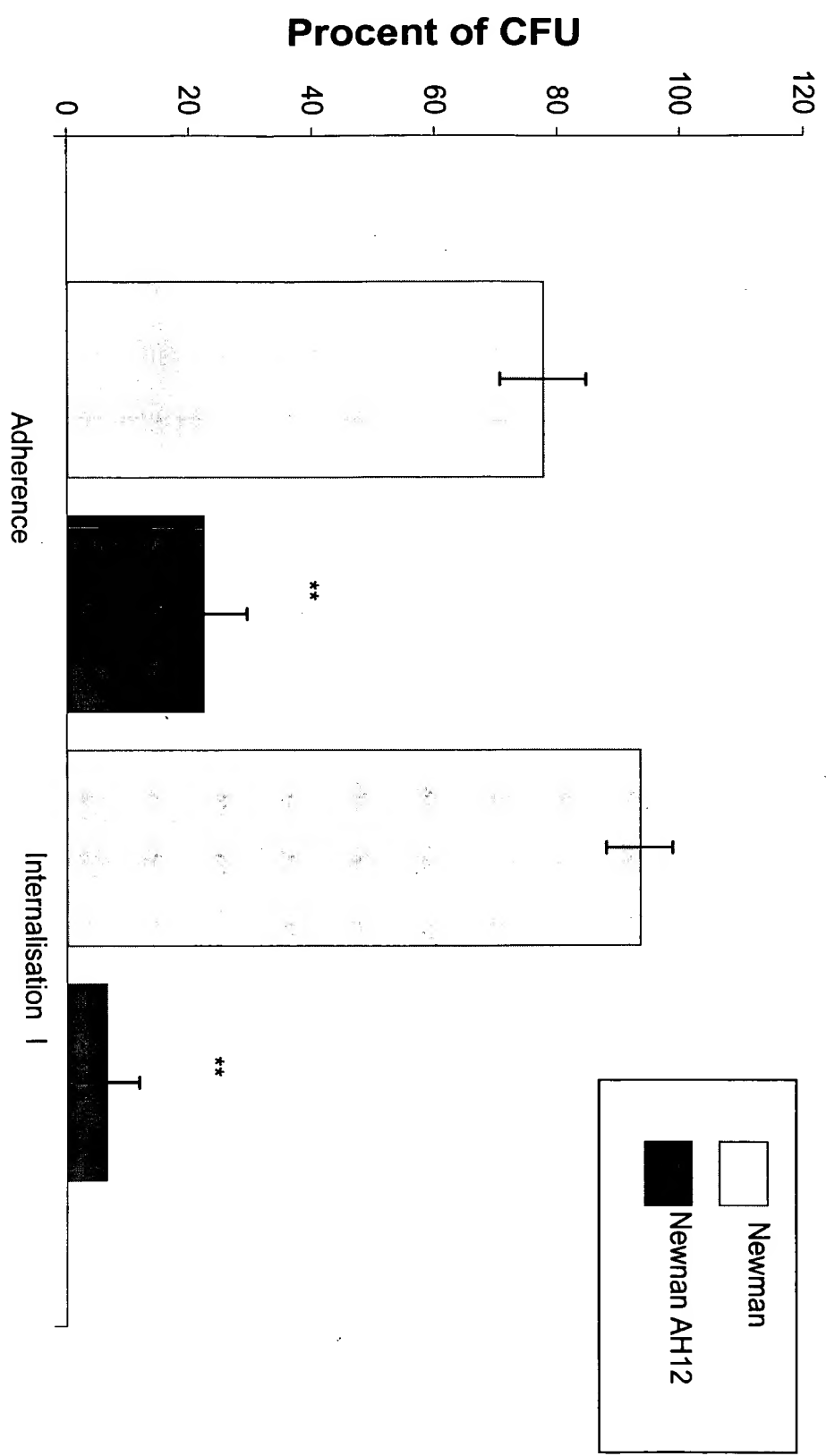


FIG. 13

102280 2648E660

Adherence and Internalisation to epithelial cells by a 2 hours culture of Newman and Newman AH12 (Eap::Ery^R)

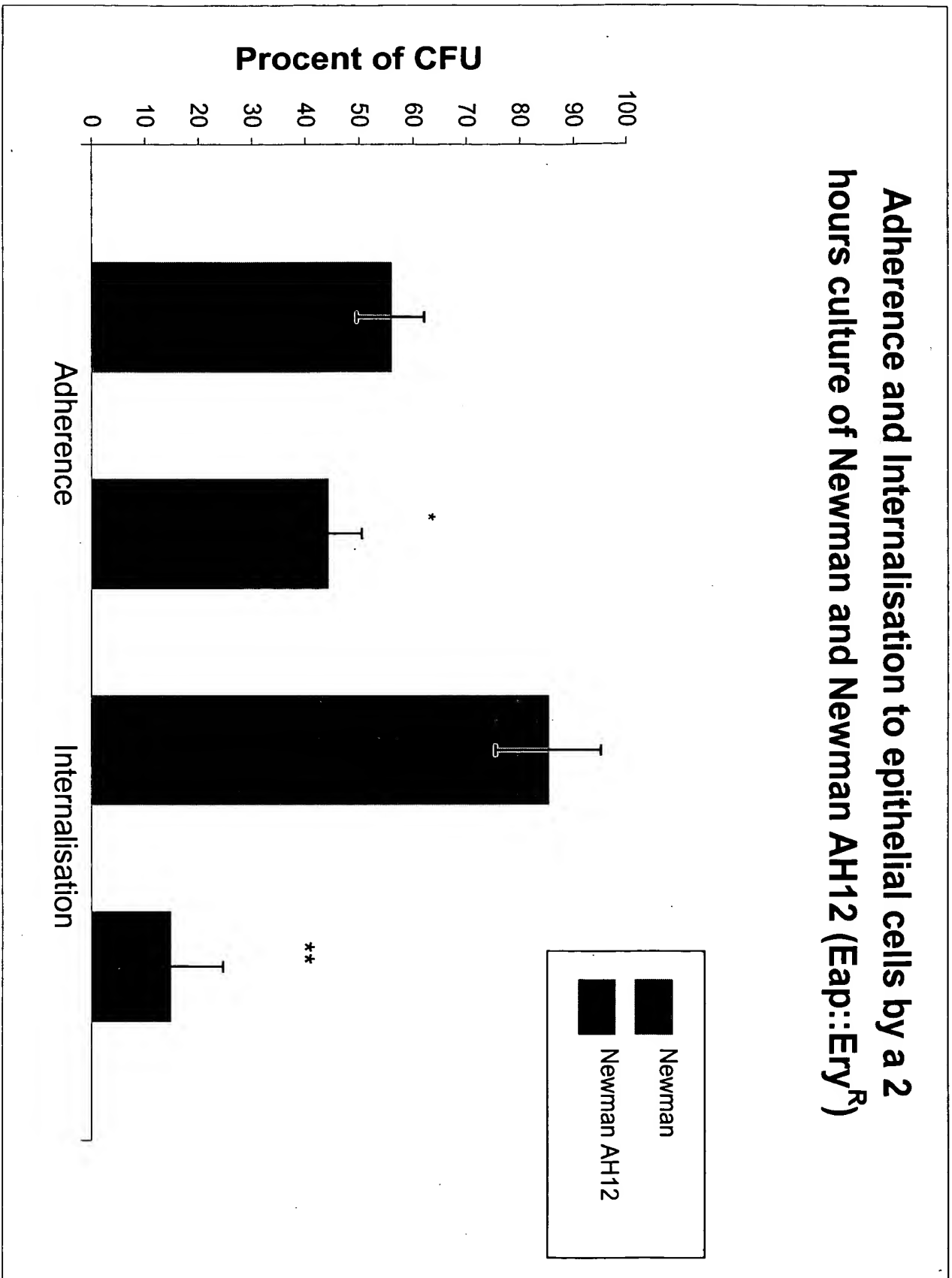


FIG. 14

FO2280 2618E650

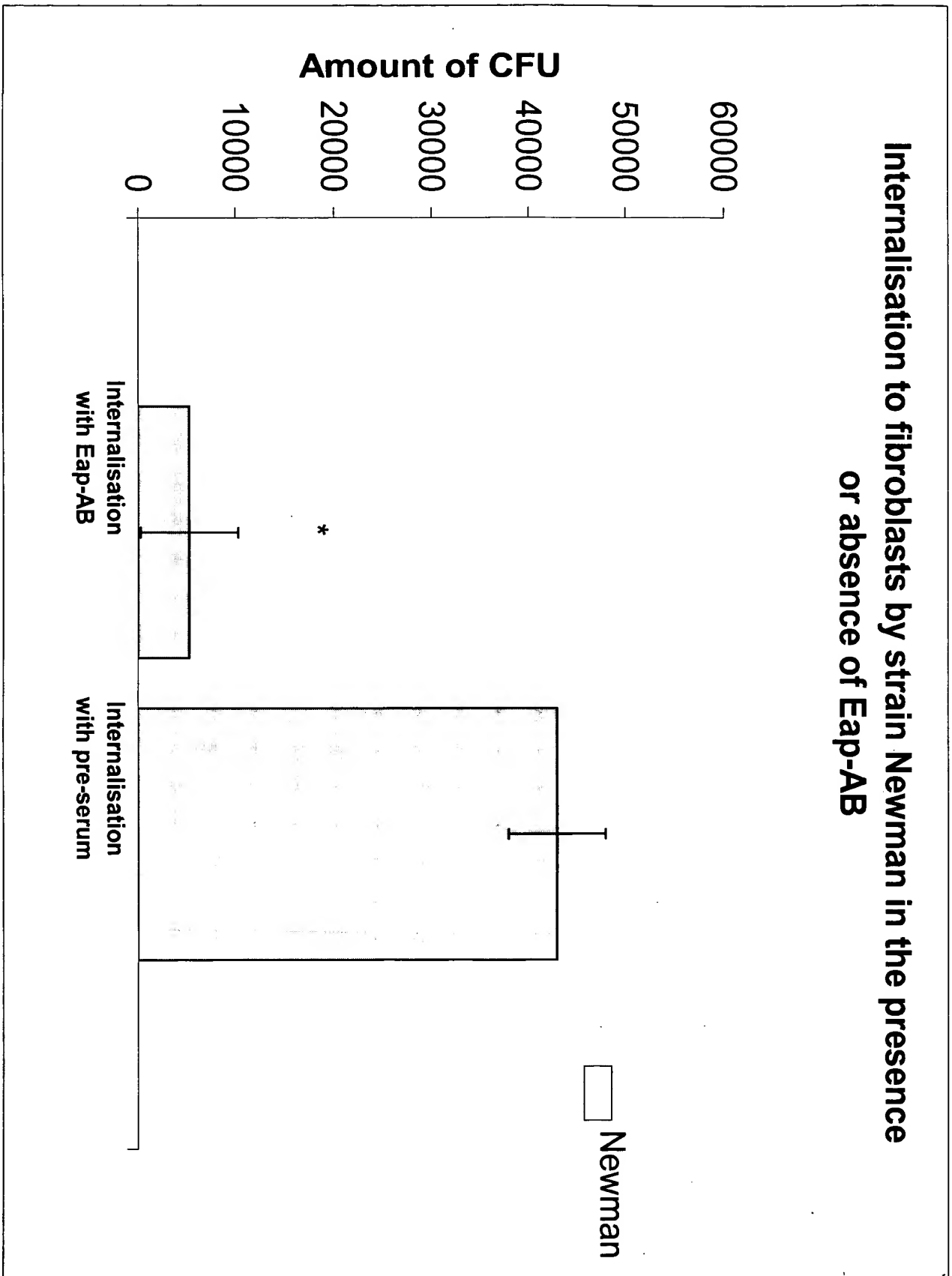


FIG. 15